

Таким образом, общность электронной структуры исследованных кристаллов указывает на схожий характер электрохимического поведения данных фторидов.

Л и т е р а т у р а

- [1] Мурин И. В., Чернов С. В. Изв. АН СССР, сер. Неорг. материалы, 1982, т. 18, № 1, с. 168—169.
- [2] Hasegawa A. Sol. St. Ionics, 1985, vol. 15, N 1, p. 81—88.
- [3] Эварестов Р. А., Мурин И. В., Петров А. В. ФТТ, 1984, т. 26, № 9, с. 2579—2586.
- [4] Velicky B., Masek J. Sol. St. Commun., 1986, vol. 58, N 10, p. 663—666.
- [5] Эварестов Р. А. Квантово-химические методы в теории твердого тела. Л.: Изд-во ЛГУ, 1982. 154 с.
- [6] Evardestov R. A., Leko A. V., Smirnov V. P. Phys. St. Sol. (b), 1985, vol. 128, N 1, p. 275—285.
- [7] Boyd R. J., Whitehead M. A. J. Chem. Soc., 1972, N 1, p. 73—77.
- [8] Pool R. T., Leckey R. C., Jenkin J. G., Liesegang J. Phys. Rev. B, 1975, vol. 12, N 12, p. 5872—5877.
- [9] Heaton R. A., Lin C. C. Phys. Rev. B, 1980, vol. 22, N 6, p. 3629—3638.
- [10] Robertson J. J. Phys. C, 1979, vol. 12, N 22, p. 4767—4776.
- [11] Fast ion transport in solids. Ed. P. Vashishta et al., N. Y., etc., North-Holl, 1979, p. 687—690.

Ленинградский государственный
университет им. А. А. Жданова
Ленинград

Поступило в Редакцию
10 сентября 1987 г.

УДК 537.32 : 546

Физика твердого тела, том 30, в. 3, 1988
Solid State Physics, vol. 30, N 3, 1988

НОВАЯ КОНДО-СИСТЕМА CeNiGa₂ С СИЛЬНЫМ ОРБИТАЛЬНЫМ ВЫРОЖДЕНИЕМ

М. Д. Котерлин,^{*} Б. С. Морохивский, Ю. М. Гринь

С целью изучения закономерностей образования тонкой структуры плотности состояний возле уровня Ферми (E_F) в системах с валентно-нестабильными (ВН) редкоземельными элементами исследованы термоэдс (α) и удельное электросопротивление (ρ) соединений типа CeNiGa_y ($y = 0.5, 2, 3$). Особенностью кристаллической структуры CeNiGa_y является постепенное уменьшение с ростом y количества атомов Ni в ближайшем окружении Ce [1-3]. Согласно данным [1-3], на координационную сферу Ce радиуса $R \approx 3.5$ Å приходится 6, 4 и 2 атома Ni для составов с $y = 0.5, 2$ и 3. Как известно [4, 5], наличие в ближайшем окружении атомов 3d-переходного элемента (M) приводит к возникновению ВН Ce, причем с ростом содержания компонента M валентность Ce и ширина пика плотности состояний $g_f(E)$ возле уровня E_F возрастают.^{*}

Результаты измерений α и ρ в интервале температур 4.2—400 К для CeNiGa_y приведены на рис. 1. Как видно, для CeNiGa_{0.5} с наименьшим содержанием Ga $\rho(T)$ обладает положительной кривизной с насыщением при $T > 250$ К, что характерно для систем с промежуточной валентностью Ce. Это также подтверждается измерениями магнитной восприимчивости [1]. Несколько необычным является обнаружение двух положительных максимумов $\alpha(T)$ ($T_{\alpha_{max1}} \approx 70$ К и $T_{\alpha_{max2}} \approx 350$ К). Появление двухгорбой структуры $\alpha(T)$ наблюдалось ранее в системах с Ce в состоянии, близком к кондовскому [6, 7]. В случае соединения с наибольшим содержанием Ga ($y=3$) аномалий ρ и α не обнаружено. Соединение CeNiGa₂ (структурный тип NdNiGa₂, пространственная группа *Cmcm* [2]) обнаруживает аномалии $\rho(T)$ и $\alpha(T)$, свойственные немагнитным Кондо-

решеткам (НКР) [8]. Отличительной особенностью НКР CeNiGa₂ является наличие только одного максимума на зависимостях ρ (T) и α (T) ($\rho_{\max} \approx 70 \text{ мкОм}\cdot\text{см}$, $\alpha_{\max} \approx +52 \text{ мкВ/К}$ при $T \approx 15-20 \text{ К}$). Положительный пик термоэдс необычно узкий (ширина пика $\Delta T \approx 40 \text{ К}$ на уровне $0.5\alpha_{\max}$). Оценка коэффициента a в линейной части α ($a \approx aT$ при $T < T_{\alpha_{\max}}$) составляет $\sim 4-5 \text{ мкВ/К}^2$, что характерно для систем с тяжелыми фермионами. В рамках двухзонной модели [4] поведение α (T) соответствует узкому пику $g_f(E)$ с шириной $\Gamma \approx 20 \text{ К}$, расположенному выше уровня E_F ($E_g - E_F \approx 9 \text{ К}$). Замещение Ce \rightarrow La в CeNiGa₂ приводит к некоторому сдвигу ($\sim 5 \text{ К}$) максимума магнитной составляющей сопротивления ρ_m ($\rho_m = \rho(\text{Ce}_x\text{La}_{1-x}\text{NiGa}_2) - \rho(\text{LaNiGa}_2)$) и полному его исчезновению при

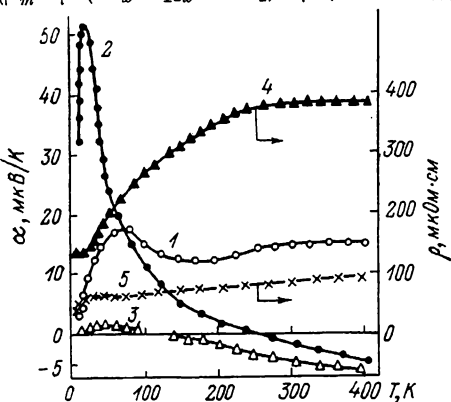


Рис. 1. Температурные зависимости термоэдс (α) и удельного электросопротивления (ρ) соединений CeNiGa_y. α : $y=0.5$ (1), 2 (2), 3 (3); ρ : $y=0.5$ (4), 2 (5).

$x > 0.4$. На поведении $\alpha(T)$ изменение состава в области $0 < x \leq 0.5$ существенно не сказывается (рис. 2). Логарифмические участки ρ_m наблюдаются только при $T \geq 60 \text{ К}$, причем угол наклона прямой $\rho_m = A + B \ln T$ не зависит от состава. По-видимому, замещение Ce \rightarrow La не приводит к заметному изменению состояния Ce и параметров пика $g_f(E)$. При $x > 0.4$ Ce переходит в состояние Кондо-примеси.

Из анализа полученных данных следует, что в CeNiGa₂ реализуется аномально низкая энергия расщепления 4f-уровня Ce кристаллическим полем (Δ) при сравнительно высокой кондовской температуре (T_K), причем $T_K \geq \Delta$.

Л и т е р а т у р а

- [1] Ромака В. А., Гринь Ю. Н., Ярмолюк Я. П. УФЖ, 1982, т. 27, № 3, с. 400—404.
- [2] Гринь Ю. Н., Ярмолюк Я. П. Докл. АН УССР, А, 1982, № 3, с. 69—72.
- [3] Гринь Ю. Н. Докл. АН УССР, А, 1982, № 2, с. 80—84.
- [4] Котерлин М. Д., Бабич О. И., Луцив Р. В. и др. Препр. Ин-та металлофизики АН УССР, 1986, № 11. 24 с.
- [5] Луцив Р. В., Котерлин М. Д., Бабич О. И. ФТТ, 1984, т. 26, № 6, с. 1781—1785.
- [6] Schneider H., Kletowski Z., Oster F., Wohlleben D. Sol. st. Commun., 1983, vol. 48, N 12, p. 1093—1097.
- [7] Amato A., Sierro J. JMMM, 1985, vol. 47—49, N 3, p. 526—528.
- [8] Мошалков В. В., Брандт Н. Б. УФН, 1986, т. 149, № 4, с. 585—634.

Львовский госуниверситет
им. И. Франко
Львов

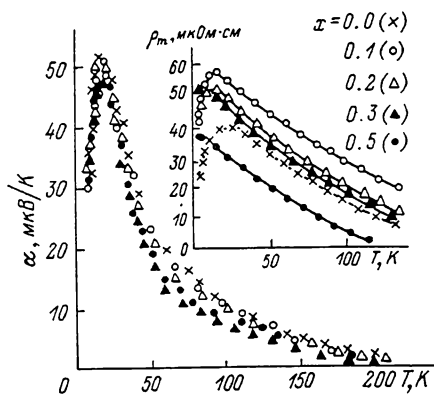


Рис. 2. Температурные зависимости термоэдс (α) твердого раствора $\text{La}_x\text{Ce}_{1-x}\text{NiGa}_2$.

На вставке приведены температурные зависимости магнитной составляющей электросопротивления $\rho_m(T) = \rho(\text{La}_x\text{Ce}_{1-x}\text{NiGa}_2) - \rho(\text{LaNiGa}_2)$.